УДК 547.458.68;549.822.3

# КОМПЛЕКС ВКЛЮЧЕНИЯ Gd(III) С β-ЦИКЛОДЕКСТРИНОМ И L-ТРИПТОФАНОМ

© 2024 г. С. С. Хасаева<sup>1,\*</sup>, Н. Н. Буков<sup>1</sup>, С. Н. Иванин<sup>1</sup>, С. Л. Кузнецова<sup>1</sup>, Э. Л. Исаева<sup>2</sup>

<sup>1</sup> Кубанский государственный университет, Краснодар, 350040 Россия <sup>2</sup> Чеченский государственный университет имени А. А. Кадырова, Грозный, 364024 Россия \*e-mail: justchemist@mail.ru

Поступило в редакцию 30 января 2024 г. После доработки 3 апреля 2024 г. Принято к печати 3 апреля 2024 г.

Синтезирован комплекс включения гадолиния(III) с L-триптофаном (L-Trp) и  $\beta$ -циклодекстрином ( $\beta$ -CD) состава  $Gd(Trp)_3Cl_3\cdot 3\beta$ -CD $\cdot nH_2O$ . Установлено, что комплекс образуется за счет вхождения в полость  $\beta$ -CD ароматической части молекулы L-Trp, а ионы  $Gd^{3+}$  находятся во внешней сфере.

**Ключевые слова:** комплекс включения, L-триптофан, гадолиний(III), β-циклодекстрин, физико-химические методы исследования

DOI: 10.31857/S0044460X24020128, EDN: GUNRPA

#### **ВВЕДЕНИЕ**

L-триптофан (L-Trp) – это незаменимая α-аминокислота, которая оказывает большое влияние на метаболическую активность человека, а также травоядных животных. Биологическая роль триптофана заключается в том, что он, с одной стороны, служит «кирпичиком» для строительства собственных белков организма, а с другой – нужен для синтеза важнейших биологически активных соединений [витаминов (В3, ниацин) и гормонов (серотонин, мелатонин, гормон роста)]. Являясь источником мелатонина и серотонина, триптофан обладает значительными антиоксидантными свойствами [1]. Триптофан используется в качестве антиоксиданта в пищевой промышленности и в качестве биомаркера в фармацевтической промышленности [2]. С точки зрения биоактивности, комплексные соединения аминокислот с металлами (d-металлы, как известно, имеют большое значение во многих биохимических процессах в живых организмах, а f-элементы являются редкоземельными зондами) представляют большой интерес. Таким образом, при введении иона *d*-элемента усиливаются фармакологические свойства, а введение f-элемента позволяет отследить пути доставки лекарственного препарата в нужную точку живого объекта [3, 4].

Плохая растворимость активного фармацевтического ингредиента в воде является серьезной проблемой [5]. В частности, комплексы аминокислот с металлами обычно имеют низкую и изменчивую биодоступность и, следовательно, неудовлетворительный терапевтический эффект. Аминокислоты к тому же химически неустойчивы, они агрегируют и под действием света и влаги могут разрушаться. В лекарственных препаратах обычно используется активная L-форма аминокислот, которая со временем, по мнению автора [6], может переходить в неактивную D-форму. Проблему устойчивости можно решить, поместив комплекс в полость другой молекулы – хозяина. Самыми распространенными хозяевами-инкапсуляторами являются β-циклодекстрины (β-CD). Одна из особенностей β-CD заключается в их способности включать в гидрофобную полость небольшие гидрофобные молекулы, тем самым повышая их растворимость, и, следовательно, стабильность и биодоступность лекарственных веществ [7].

Получение и изучение комплексов включения циклодекстринов является весьма актуальным. Хорошо исследованы бинарные комплексы типа СD-гость. Целый ряд работ посвящен комплексам включения CD с аминокислотами [8–12], модифицированного β-CD с аминокислотами [13–16], комплексам CD с металлами [17]. Тройные системы типа CD-гость-металл изучены меньше [18, 19]. Так, системы CD-аминокислота—ион металла описаны в работах [20, 21], в которых приводятся данные о комплексах включений функционализированного циклодекстрина с триптофаном и никелем(II) и комплексов тирозина с металлами Co(II) и Cu(II) с β-циклодекстрином.

В то же время, аминокислоты особенно ароматические по своей структуре являются идеальными лигандами для образования комплексов включения с СD [6]. Имея несколько активных центров для координации с металлами [3], они образуют бинарные комплексы и могут быть использованы для получения тройных комплексов. В связи с этим в данной работе получен и изучен физико-химическими методами

комплекс включения Gd(III) с  $\beta$ -циклодекстрином и L-триптофаном.

### РЕЗУЛЬТАТЫ И ОБСУЖДЕНИЕ

Комплекс включения Gd(III) с β-циклодекстрином и L-триптофаном получали смешением L-Trp, β-CD и хлорида гадолиния(III) в дистиллированной воде.

На термограмме исследуемого комплекса (рис. 1, табл. 1) можно выделить 4 стадии потери массы. Первая стадия эндоэффект при 96.6°С с потерей массы 10.99%, что соответствует процессу десорбции воды. Хорошо видно, что данный эффект разделяется на 2 максимума (96.6 и 112.5°С), что, по нашему мнению, связано, во-первых, с десорбцией воды на гидрофильной поверхности  $\beta$ -CD (соответствующий эффект для чистого  $\beta$ -CD лежит в области 80°С и имеет  $\Delta m = 10.16\%$ , также в работе [18] было показано, что с одной молекулой  $\beta$ -CD может быть связано до 10–12 молекул воды). Следующий эффект потери массы при 112.5°С связан, по нашему мнению, с отщеплением внутрисферной воды, координированной с ионами  $Gd^{3+}$ . Общее число молекул воды

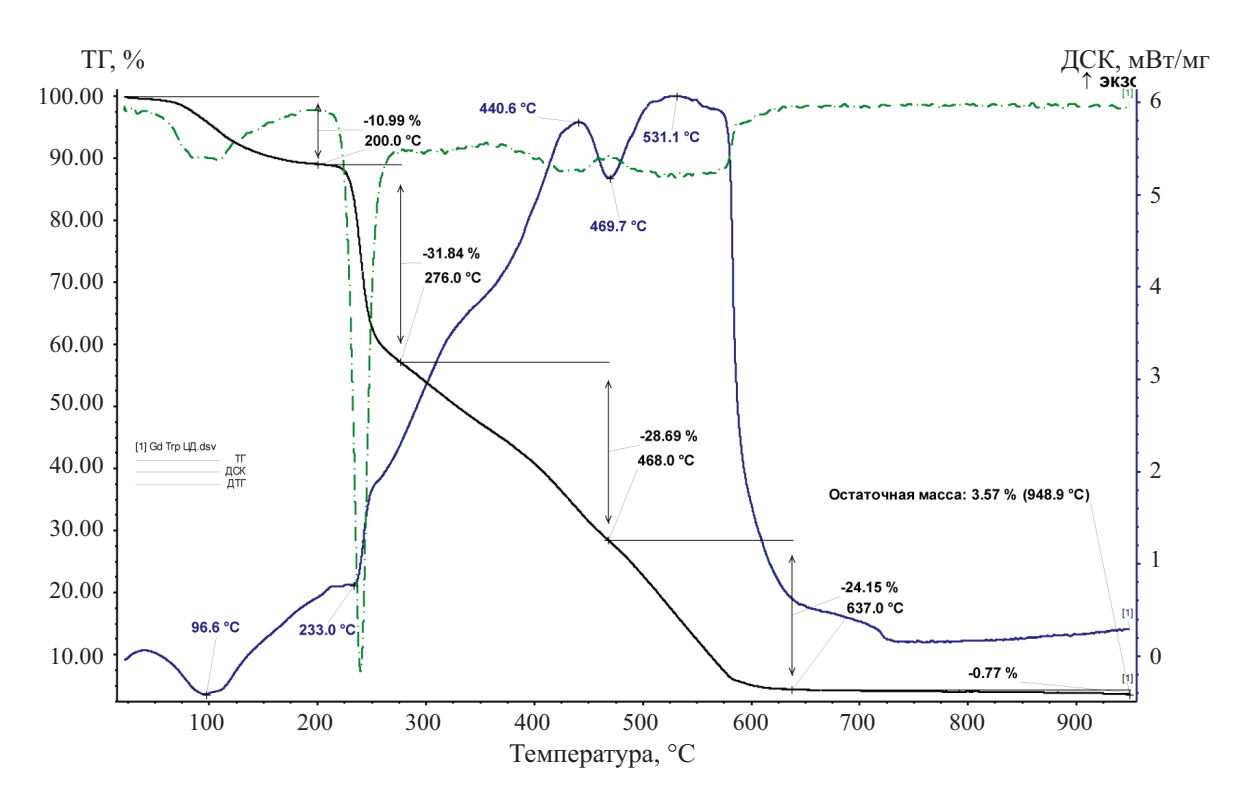


Рис. 1. Термограмма комплекса включения β-циклодекстрина с гадолинием(III) и L-триптофаном.

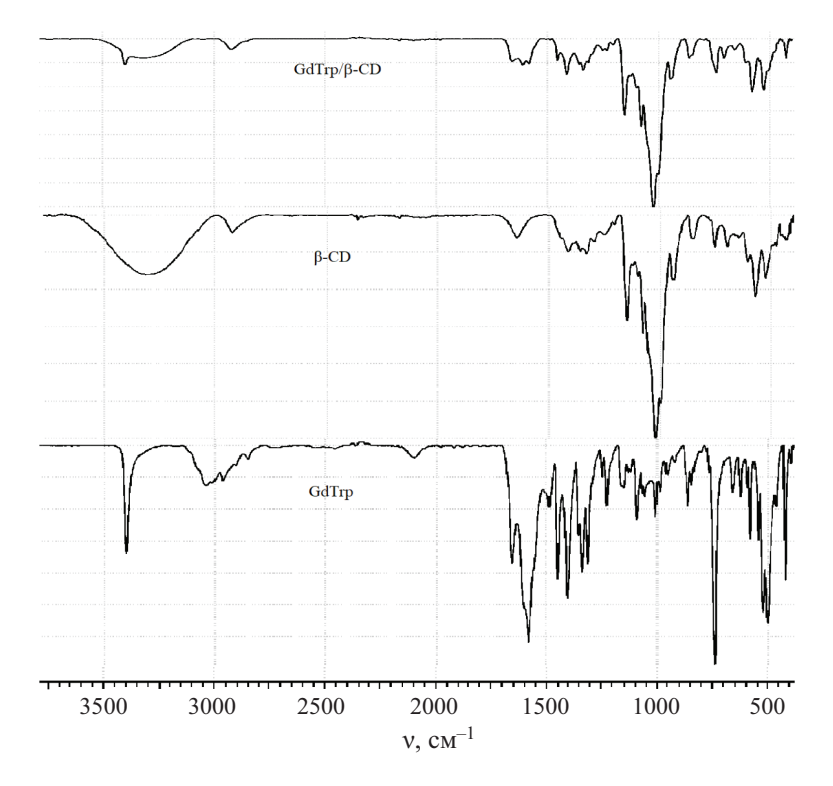
β-CD		Gd(Trp) <sub>3</sub> C <sub>l3</sub> ·3β-CD·nH <sub>2</sub> O	
термоэффект, °С	потеря массы, %	термоэффект, °С	потеря массы, %
88	10.16	96.6	10.99
225	1.72	233	31.84
268			
281			
316			
336	63.24	440.6	28.69
489	23.48	531.1	24.15

Таблица 1. Данные термического анализа β-CD и его комплекса включения с Gd(III) с L-Trp.<sup>а</sup>

в исследуемом комплексе включения варьируется в области 25–30 молекул, основная часть которых координирована на поверхности β-CD.

Эффекты термодеструкции исследуемого комплекса включения отличаются от эффектов, наблюдаемых в чистом  $\beta$ -CD (табл. 1) и чистом комплексе  $Gd^{3+}$  с триптофаном. Так, вторая и третья стадии пиролиза комплекса включения, вероятно,

обусловлены разложением Trp и β-CD в интервале 200–450°C (эндоэффект 233°C и экзоэффект 440°C с потерей массы 60.53%). На четвертой стадии происходит деструкция β-CD в интервале 450–640°C с потерей массы 24.15% (интенсивный экзотермический пик с максимумом при 531°C). Дальнейший нагрев до 900°C дает остаточную массу 3.6% оксихлорида гадолиния (GdClO). При



**Рис. 2.** ИК спектры GdTrp, β-CD, комплекса включения (GdTrp/β-CD).

<sup>&</sup>lt;sup>а</sup> Экзоэффекты выделены полужирным шрифтом.

этом температура разложения Trp и  $\beta$ -CD в комплексе включения понизилась, что дополнительно связывают с образование комплекса включения [21]. Анализ данных TГА-исследований и данных титрования на содержания металла и лиганда позволили определить состав изучаемого комплекса как Gd(Trp)<sub>3</sub>Cl<sub>3</sub>·3 $\beta$ -CD·nH<sub>2</sub>O, где n = 25–30.

ИК спектры GdTrp, Gd(Trp)<sub>3</sub>Cl<sub>3</sub>·3β-CD·nH<sub>2</sub>O, β-CD показаны на рис. 2. ИК спектр комплекса включения схож со спектром чистого циклодекстрина, что указывает на отсутствие изменений в структуре молекулы-*хозяина* (β-CD) и слабое взаимодействие ее с молекулой гостя (комплекса гадолиния с триптофаном). Спектр β-CD характеризуется широкой полосой при  $3309 \text{ см}^{-1}$ , которая принадлежит валентным колебаниям связи О-Н. Валентные колебания связей C-H появляются при 2925 см $^{-1}$ , при 1645 см<sup>-1</sup> регистрируются деформационные колебания фрагмента R-О-Н в СОН-группах. Полосы поглощения в области  $1413\sim1205~{\rm cm}^{-1}$  относятся к деформационным колебаниям фрагментов Н-С-Н и H-C-C RCH2OH и RCHOH групп. Интенсивная полоса при  $1022 \text{ см}^{-1}$  принадлежит валентным колебаниям С-О, а полоса, наблюдаемая при 1151 см<sup>-1</sup>, соответствует асимметричным гликозидным валентным колебаниям фрагмента С-О-С [22, 23].

Полосы поглощения молекулы гостя накладываются на ИК спектр циклодекстрина с небольшими изменениями в интенсивности и частотах, что свидетельствует о сохранении комплекса гадолиния с триптофаном при образовании тройного комплекса и слабом взаимодействии его с молекулой хозяина [6]. При отнесении полос поглощений триптофана и его комплекса с Gd<sup>3+</sup> использовали данные из работ [24, 25]. Данные ИК спектров комплекса гадолиния(III) с триптофаном подтверждают координацию иона гадолиния(III) с ионизированной карбоксильной группой (частоты асимметричных и симметричных валентных колебаний карбоксильной группы  $COO^- - 1610$ , 1413 см<sup>-1</sup>). Поглощение иминогруппы гетероцикла (3400 и 1583  $cm^{-1}$ ) и ионизированной  $\alpha$ -аминогруппы  $NH_3^+$  (1454 см<sup>-1</sup>) в комплексе и лиганде не изменяется, что свидетельствует о неучастии этих групп в образовании координационной связи с ионом гадолиния(III).

В спектрах исследуемого комплекса включения наблюдается наложение полос поглощения β-CD и комплекса гадолиния(III) с триптофаном в области

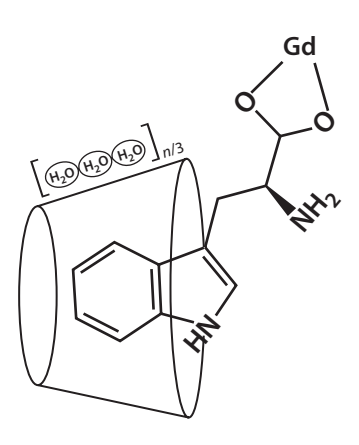
 $1660\sim1500,\,1338-1232,\,738$  и 546-424 см $^{-1}$ . В первом случае происходит перекрывание валентных асимметричных колебаний СОО $^-$ -группы с полосами поглощения бензольного кольца триптофана, а полоса, проявляющаяся при 1454 см $^{-1}$ , принадлежит деформационным колебаниям  $NH_3^+$ -группы триптофана.

Сравнение ИК спектров β-CD, GdTrp со спектром комплекса включения позволяет сделать следующие выводы. В спектре комплекса включения наблюдаются основные полосы поглощения β-СD и хорошо видны полосы поглощения ионизированных амино- и карбоксильных групп L-триптофана, не входящих в полость β-СD (табл. 2). При этом полосы поглощения ионизированной карбоксильной группы COO-, связанной с ионом Gd<sup>3+</sup>, закономерно имеют пониженные в частоты и наблюдаются в области 1660-1500 см $^{-1}$ , как и в ИК спектре чистого комплекса. Судя по ИК спектру, полосы поглощения ионизированной аминогруппы NH<sub>3</sub><sup>+</sup> не смещаются, что свидетельствует о неучастии аминогруппы в координации. В высокочастотной области на фоне полос поглощения гидроксильных групп β-CD (3326 см<sup>-1</sup>) наблюдается полоса поглощения NH-группы пиррольного кольца L-триптофана (3400 см<sup>-1</sup>), не участвующей в координации. Все это позволяет

**Таблица 2.** Частоты колебаний основных групп комплекса включения  $Gd(Trp)_3Cl_3\cdot 3\beta - CD\cdot nH_2O.^a$ 

Отнесение	ν, cm <sup>-1</sup>
$\nu[NH(r)_{Trp}]$	3400 ср
$\nu$ (OH) (H <sub>2</sub> O + первичные гидроксилы, $\beta$ -CD)	3326 ш
$\nu$ (C–H) (CH, CH <sub>2</sub> , $\beta$ -CD)	2923 ср
$\delta$ (OH) (C–OH <sub><math>\beta</math>-CD</sub> + COO $^{-}$ <sub>Trp</sub> )	1658 cp
$v_{as}(COO^{Trp})$	1610 cp
$\delta[NH(r)_{Trp}] + \nu(R_{Trp})$	1583 cp
$\delta_{\rm s}({ m NH_3}^+_{ m Trp})$	1454 пл
$\delta$ (C–H) (CH <sub>2</sub> OH, CH–OH, $\beta$ -CD)	1413-1249
$\nu$ (C–O–C) + $\nu$ (C–O–H <sub><math>\beta</math>-CD</sub> )	1153–998
$\delta$ (C–H <sub>β-CD</sub> )	944–848
$\delta(r_{Trp})$	738 ср, 657 сл
$\delta$ (C– $H_{\beta\text{-CD}}$ )	705 сл
$\delta(C-H_{\beta-CD})$	607–526
$\delta(R_{Trp})$	424 сл

 $<sup>^{</sup>a}$  R — бензольное кольцо, r — пиррольное кольцо.



**Рис. 3.** Схематическое изображение фрагмента предполагаемого комплекса включения.

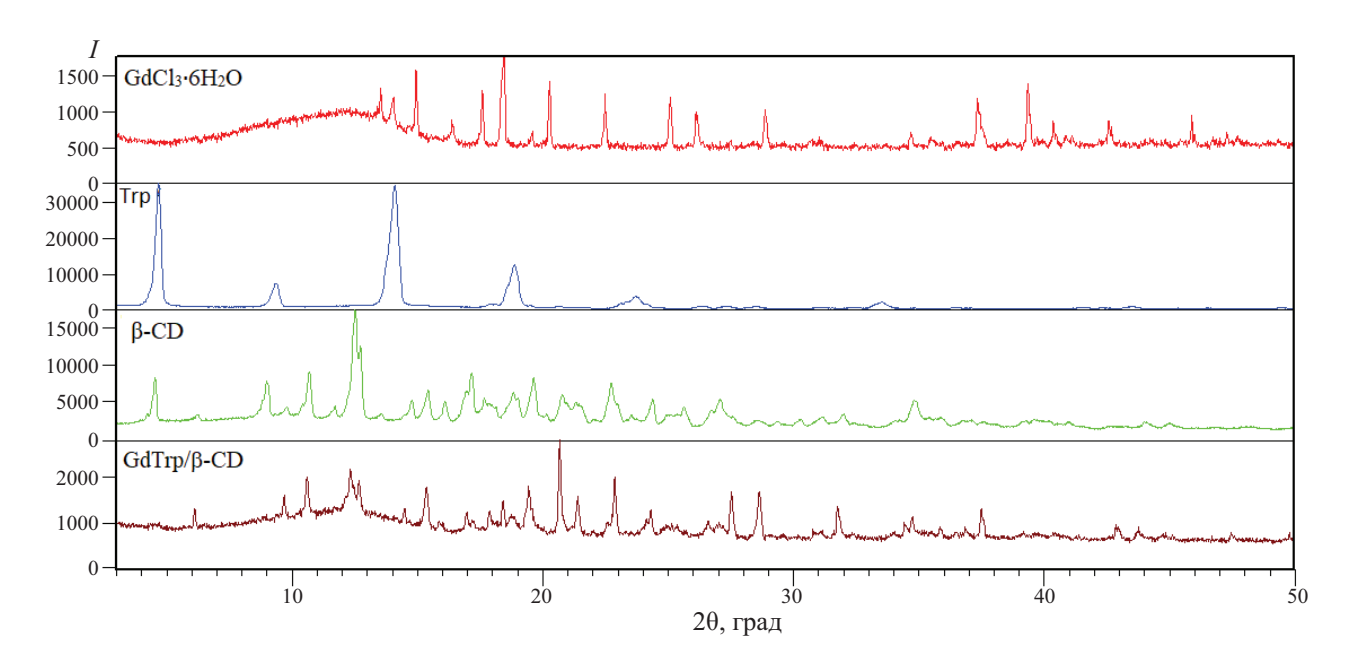
считать, что СОО<sup>-</sup>-группа L-Тгр координируется с ионом  $Gd^{3+}$ , а ионизированная  $NH_3^+$ -группа не участвует в координации. Фрагмент изучаемого комплекса приведен на рис. 3.

Для определения изменений в структурах компонентов в результате взаимодействия, сравнивались дифрактограммы исходников и комплекса включения (рис. 4). Хорошо видно, что рентгенограмма комплекса включения содержит все основные фазы цикло-

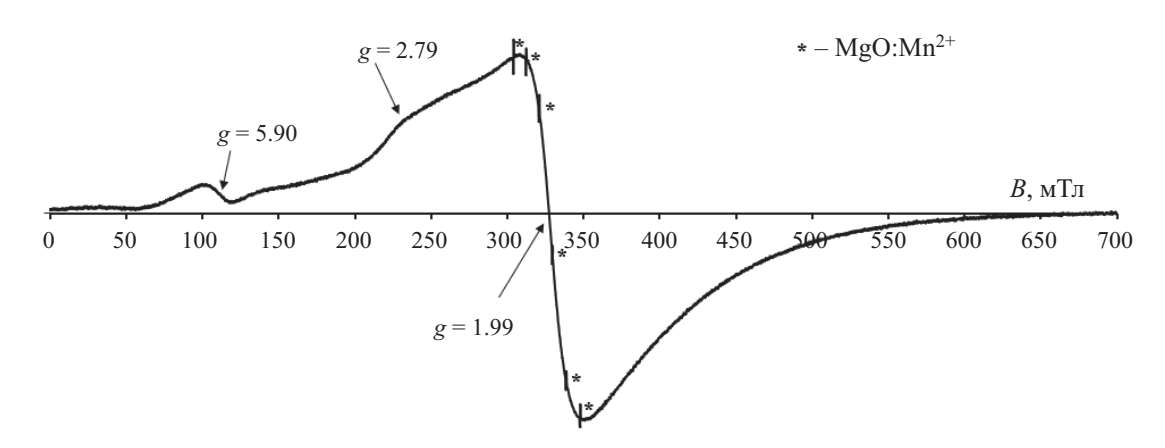
декстрина, определяющего структуру образующегося соединения с наложением фаз хлорида гадолиния. В тоже время в дифрактограмме комплекса включения не наблюдаются характерных пиков кристаллического триптофана (в дифрактограмме триптофана наблюдаются резкие пики с высокой интенсивности при  $2\theta = 4.7^{\circ}$ ,  $14.04^{\circ}$ ,  $18.96^{\circ}$ ). Это может указывать на то, что триптофан находится в полости β-CD и не формирует плоскости твердой фазой. Пики Gd(III) на дифрактограмме комплекса включения проявляются, потому что Gd(III) расположен снаружи. Изменения интенсивности отличительных пиков от молекулы-хозяина (β-CD) являются факторами, по которым можно судить об образовании новой фазы, и, следовательно, могут считаться подтверждением образования комплекса включения [18, 26].

На рис. 5 приведен спектр ЭПР комплекса включения  $Gd(Trp)_3Cl_3\cdot 3\beta$ - $CD\cdot nH_2O$  и эталона по g-фактору  $MgO:Mn^{2+}$  (на рисунке отмечены *звездочкой*). Как видно из рисунка, для исследуемого комплекса включения характерно наличие следующих значений g-фактора: 1.99, 2.79 и 5.90.

Как известно [27], спектры ЭПР X-диапазона ионов Gd(III), присутствующих при низких концентрациях практически в любом типе стеклообразного носителя имеют тенденцию к наличию трех характерных



**Рис. 4.** Дифрактограммы комплекса включения (GdTrp/ $\beta$ -CD),  $\beta$ -CD, Trp, GdCl<sub>3</sub>·6H<sub>2</sub>O.



**Рис. 5.** Спектр ЭПР комплекса включения  $Gd(Trp)_3Cl_3\cdot 3\beta$ - $CD\cdot nH_2O$ .

значений д-фактора: 2.0, 2.8 и 6.0. Такой тип спектра ЭПР Gd(III) получил название «U-спектр» ввиду его широкого распространения в различных стеклообразных и неупорядоченных поликристаллических материалах. Также в спектрах ЭПР Х-диапазона ионов Gd(III) в стеклах могут наблюдаться эффективные значениях g-фактора от 3.3 до 3.6 и/или от 4.3 до 4.8. Ожидается, что U-спектр будет преобладать только тогда, когда ионы Gd(III) могут достигать высокого координационного числа ( $\geq 6$ ) в пределах структурно неупорядоченной матрицы [27], так как в этих местах ионы гадолиния испытывают относительно слабое кристаллическое поле [28]. Согласно данным работы [29], спектры ЭПР ионов Gd(III) со значениями д-фактора 5.9, 2.79 и 1.98, наложенными на широкий резонанс при значении  $g \sim 2.0$ , характерны для комбинации кубической и тетрагональной симметрии. Все это подтверждает координацию ионов Gd<sup>3+</sup> с кислородными атомами карбоксильной группы триптофана и, возможно, с 1 молекулой воды с образованием координационного полиэдра смешанной симметрии.

#### ВЫВОДЫ

Таким образом, можно считать, что последовательным смешиванием растворов  $\beta$ -CD и Trp с добавлением раствора хлорида гадолиния нами получен комплекс включения состава Gd(Trp)<sub>3</sub>Cl<sub>3</sub>·3 $\beta$ -CD·nH<sub>2</sub>O. С помощью физико-химических методов проведено исследование возможности образования комплекса включения типа хозяин—гость при взаимодействии ароматической аминокислоты (L-триптофана) и  $\beta$ -CD.

Вероятно, комплекс включения образуется путем погружения аминокислотного ароматического радикала во внутреннюю гидрофобную полость молекул  $\beta$ -CD и координацией ионов  $Gd^{3+}$  с карбоксильной группой триптофана, находящейся вне полости  $\beta$ -CD.

#### ЭКСПЕРИМЕНТАЛЬНАЯ ЧАСТЬ

В работе использовали β-циклодекстрин, L-триптофан, GdCl<sub>3</sub>·6H<sub>2</sub>O квалификации XЧ.

Термогравиметрический анализ (ТГА) порошка исследуемого комплекса проводили на приборе NETZSCH STA 409 PC/PG в атмосфере воздуха в интервале 30-1000°C со скоростью нагрева 10 К/мин. ИК спектры порошка исследуемого комплекса записаны на ИК Фурье-спектрометре VERTEX 70 в области  $4000-400 \text{ см}^{-1}$  методом нарушенного полного внутреннего отражения. Спектр ЭПР порошка соединения Gd(III) с β-циклодекстрином и L-триптофаном и эталона по g-фактору (ЭПРстандарт MgO:Mn<sup>2+</sup>, JEOL) записаны на ЭПР спектрометре JEOL JES FA-300 на частоте 9.14 ГГц с частотой модуляции 100 кГц. Запись спектров ЭПР проводили при комнатной температуре. Рентгенофазовый анализ образцов порошка исследуемого комплекса проводили на рентгеновском дифрактометре XRD-7000 (Shimadzu). Содержание металла в комплексе определяли с помощью титрования слабокислого раствора 0.01 н. раствором ЭДТА в присутствии 0.1%-ного спиртового раствора ксиленолового оранжевого.

Синтез комплекса включения. Для получения комплекса включения в системе Gd(III)—L-Тгр—β-CD 0.0612 г (0.3 ммоль) L-Тгр растворяли в 20 мл горячей дистиллированной воды, 1 г (0.9 ммоль) β-CD растворяли в 25 мл горячей дистиллированной воды, 0.04 г (0.1 ммоль) хлорида гадолиния(III) растворяли в 5 мл воды. К раствору L-Тгр добавляли раствор β-CD и перемешивали при 30°C в течение 1 ч, затем в этот раствор добавляли раствор хлорида гадолиния(III) и 30 мин перемешивали при той же температуре, после чего упаривали раствор при 50°C и оставляли для дальнейшей кристаллизации при комнатной температуре. Полученный мелкокристаллический порошок сушили в вакуум-эксикаторе.

#### ИНФОРМАЦИЯ ОБ АВТОРАХ

Буков Николай Николаевич, ORCID: https://orcid. org/0000-0001-8559-110 $\rm X$ 

Иванин Сергей Николаевич, ORCID: https://orcid.org/0000-0001-9352-5970

Кузнецова Светлана Львовна, ORCID: https://orcid.org/0009-0000-8868-0730

Исаева Элина Лечаевна, ORCID: https://orcid.org/0000-0001-8403-5240

Xасаева Седа Саламбековна, ORCID: https://orcid.org/0000-0002-8462-8801

#### БЛАГОДАРНОСТЬ

Авторы выражают благодарность Центру коллективного пользования «Эколого-аналитический центр» и Научно-образовательному центру «Диагностика структуры и свойств наноматериалов» Кубанского государственного университета за оказанную помощь при проведении данного исследования.

#### КОНФЛИКТ ИНТЕРЕСОВ

Авторы заявляют об отсутствии конфликта интересов.

## СПИСОК ЛИТЕРАТУРЫ

- Ahmad K., Khan M.Q., Khan R.A., Kim H. // Mater. Chem. Phys. 2022. Vol. 287. P. 126297. doi 10.1016/j.matchemphys.2022.126297
- 2. *Garrido M., Rodríguez A.B., Terrón M.P.* // Aging: Oxidative Stress and Dietary Antioxidants. 2014. P. 129. doi 10.1016/B978-0-12-405933-7.00013-5

- 3. *Болотин С.Н., Буков Н.Н., Волынкин В.А., Панюшкин В.Т.* Координационная химия природных аминокислот. М.: LKI, 2008. С. 240.
- 4. *Kowalska-Baron A.* // Comput. Theor. Chem. 2015. Vol. 1057. P. 7. doi 10.1016/j.comptc.2015.01.010
- Löbmann K., Grohganz H., Laitinen R., Strachan C., Rades T. // Eur. J. Pharm. Biopharm. 2013. Vol. 85. P. 873. doi 10.1016/j.ejpb.2013.03.014
- 6. *Ляшенко Д.Ю.* // Поверхность. 2018. Т. 25. Вып. 10. С. 153. doi 10.15407/Surface.2018.10.154
- Zarzycki P.K., Fenert B., Głód B.K. // Encapsulations. 2016. Vol. 2. P. 717. doi 10.1016/B978-0-12-804307-3.00017-X
- 8. *Roy M.N., Roy A., Saha S.* // Carbohydr. Polym. 2016. Vol. 151. P. 458. doi 10.1016/j.carbpol.2016.05.100
- Nishijo J., Tsuchitani M. // J Pharm Sci. 2001. Vol. 90.
   P. 134. doi 10.1002/1520-6017(200102)90:2<134::AID-JPS4>3.0.CO;2-T
- Shanmugama M., Ramesh D., Nagalakshmi V., Kavitha R., Rajamohan R., Stalin T. // Spectrochim. Acta (A). 2008. Vol. 71. P. 125. doi 10.1016/j.saa.2007.10.054
- 11. Caso J.V., Russo L., Palmieri M., Malgieri G., Galdiero S., Falanga A., Isernia C., Iacovino R. // Amino Acids. 2015. Vol. 47. P. 2215. doi 10.1007/s00726-015-2003-4
- Song L.X., Teng C.F., Yang Y. // J. Incl. Phenom. Macrocycl. Chem. 2006. Vol. 54. P. 221. doi 10.1007/ s10847-005-7970-8
- Xie G., Tian W., Wen L., Xiao K., Zhang Z., Liu Q., Hou G., Li P., Tiana Y., Jiang L. // ChemCommun. 2015. Vol. 51. P. 3135. doi 10.1039/C4CC09577D
- 14. Esmaeilpour D., Shityakov S., Tamaddon A.M., Bordbar A.K. // Carbohydr. Polym. 2021. Vol. 262. P. 117868. doi 10.1016/j.carbpol.2021.117868
- 15. Akita T., Matsui Y., Yamamoto T. // J. Mol. Struct.2014. Vol. 1060. P. 138. doi 10.1016/j.molstruc.2013.12.020
- Liu Y., Han B.-H., Li B., Zhang Y.-M., Zhao P., Chen Y.-T., Wada T., Inoue Y. // J. Org. Chem. 1998. Vol. 63. P. 1444. doi 10.1021/jo971466b
- 17. *Norkus E. //* J. Incl. Phenom. Macrocycl. Chem. 2009. Vol. 65.P. 237. doi 10.1007/s10847-009-9586-x
- Braga S.S., Ferreira R.A., Goncalves I.S., Pillinger M., Rocha J., Teixeira-Dias J.J.C., Carlos L.D. // J. Phys. Chem. (B). 2002. Vol. 106. P. 11430. doi 10.1021/ jp0204004
- Ribeiro A.O., Serra O.A. // J. Braz. Chem. Soc. 2007.
   Vol. 18. P. 273. doi 10.1590/S0103-50532007000200005
- 20. Brown S.E., Coates J.H., Easton Ch.J., Eyk S.J., Lincoln S.F., May B.L., Stile M.A., Whalland C.B., Williams M.L. // J. Chem. Soc. Chem. Commun. 1994. P. 47. doi 10.1039/C39940000047
- 21. *Shojaei M., Pirouzmanda M., Khatamiana M., Azizi S., Soleymani J.* // J. Mol. Struct. 2023. Vol. 1275. P. 134659. doi 10.1016/j.molstruc.2022.134659

- 22. *Gao Z.-W.*, *Zhao X.-P.* // J. Colloid Interface Sci. 2005. Vol. 289. P. 56. doi 10.1016/j.jcis.2005.03.027
- 23. *Phan T.N.T., Bacquet M., Laureyns J., Morcellet M. //*Phys. Chem. Chem. Phys. 1999. Vol. 1. P. 5189. doi
  10.1039/A905713G
- 24. *Cao X., Fischer G.* // J. Phys. Chem. (A). 1999. Vol. 103. P. 9995. doi 10.1021/jp992421c
- 25. Тен Г.Н., Глухова О.Е., Слепченков М.М., Щербакова Н.Е., Баранов В.И. // Изв. Сарат. унив. Нов. сер. Сер. Физика. 2017. Т. 17. Вып. 1. С. 20. doi 10.18500/1817-3020-2017-17-1-20-32
- Mohandoss S., Ahmad N., Khan M.R., Lee Y.R. // J. Mol. Liq. 2023. Vol. 385. P. 122411. doi 10.1016/j.molliq.2023.12241127
- Mazur M., Poprac P., Valko M., Rhodes C.J. // J. Sol-Gel Sci. Technol. 2016. Vol. 79. P. 220. doi 10.1007/ s10971-016-4014-3
- 28. *Rada S., Chelcea R., Culea M., Culea E.* // J. Mater. Sci. 2011. Vol. 46. P. 1289. doi 10.1007/s10853-010-4913-6
- Iwamoto W., Vargas J.M., Holanda Jr. L.M., Alves E., Moreno M.S., Oseroff S.B., Paglius P.G., Rettori C. // J. Nanosci. Nanotechnol. 2010. Vol. 10. P. 1. doi 10.1166/ jnn.2010.2438

# Inclusion Complex of Gd(III) with β-Cyclodextrin and L-Tryptophan

S. S. Khasaeva<sup>a</sup>, \*, N. N. Bukov<sup>a</sup>, S. N. Ivanin<sup>a</sup>, S. L. Kuznetsova<sup>a</sup>, and E. L. Isaeva<sup>a</sup>

<sup>a</sup> Kuban State University, Krasnodar, 350040 Russia <sup>b</sup> Chechen State University named after A. A. Kadyrov, Grozny, 364024 Russia \*e-mail: justchemist@mail.ru

An inclusion complex of gadolinium(III) with L-tryptophan (Trp) and  $\beta$ -cyclodextrin ( $\beta$ -CD) with the composition  $Gd(Trp)_3Cl_3\cdot 3\beta$ -CD· $nH_2O$  was synthesized. It was established that the complex is formed due to the entry of the aromatic part of the L-Trp molecule into the  $\beta$ -CD cavity, and the  $Gd^{3+}$  ions are located in the outer sphere.

**Key words:** inclusion complex, L-tryptophan, gadolinium(III), β-cyclodextrin, physico-chemical measurement methods